

Гальваномагнитные эффекты в нормальном состоянии ВТСП металлооксидов в модели двухзонного сверхпроводника с узкой зоной (уровнем) вблизи границы Ферми

В. П. Галайко, Е. Н. Братусь

Физико-технический институт низких температур им. Б. И. Веркина НАН Украины,
пр. Ленина, 47, г. Харьков, 61103, Украина
E-mail: bratus@ilt.kharkov.ua

Статья поступила в редакцию 21 декабря 2001 г.

Продолжены исследования В. П. Галайко (*ФНТ* **19**, 123 (1993)) электронных орбитальных эффектов в ВТСП образцах (Y–Ba–Cu–O) в нормальном состоянии на примере гальваномагнитных эффектов на постоянном токе. Вычислены тензор электропроводности, электрическое сопротивление и коэффициент Холла. Результаты качественно согласуются с экспериментом.

Продовжено дослідження В. П. Галайко (*ФНТ* **19**, 123 (1993)) електронних орбітальних ефектів у ВТНП зразках (Y–Ba–Cu–O) в нормальному стані на прикладі гальваномагнітних ефектів на постійному струмі. Обчислено тензор електропровідності, електричний опір та коефіцієнт Холла. Результати якісно узгоджуються з експериментом.

PACS: 74.72.-h, 72.20.My

Настоящая статья является продолжением работы [1], в которой исследовались различные экспериментальные следствия из предложенной ранее модели [2,3] ВТСП как двухзонного сверхпроводника с узкой зоной (уровнем) вблизи границы Ферми. Суть модели заключалось в том, что благодаря обмену синглетными парами электронов между уровнем и широкой зоной подвижных электронов возникает куперовское спаривание, при этом критическая температура сверхпроводящего перехода T_c оказывается лишь квадратично малой по константе связи, в отличие от теории БКШ, в которой она экспоненциально мала. В работе [1] в дополнение к [2,3] было учтено то обстоятельство, что вследствие характерного для ВТСП металлооксидов «допирования» (для получения максимальных T_c ; в случае соединений Y–Ba–Cu–O — допирование кислородом) ВТСП системы следует рассматривать как кристаллические растворы замещения. С точки зрения электронных свойств это означает, что они являются «грязными» сверхпроводниками с боль-

шим количеством примесных рассеивающих центров.

В работе [1] рассеяние на этих «примесях» учитывалось феноменологически — путем включения в гамильтониан электронной системы вклада взаимодействия со случайно расположеннымми примесями, матричные элементы которого описывали как внутри-, так и межзонные переходы при рассеянии. В рамках модели была разработана соответствующая техника усреднения физических величин по случайным координатам примесей и рассмотрены различные следствия модели. Как и в обычных сверхпроводниках, влияние примесей на термодинамические характеристики системы оказывается малым («теорема Андерсона»), в отличие от кинетических характеристик. В качестве наиболее важной характеристики была вычислена электропроводность ВТСП образца в нормальном состоянии как функция температуры и частоты. Оказалось, что, несмотря на грубость модели, результаты теории качественно согласуются с экспериментом [4] для характерных частот 10^5 с^{-1} .

Детальное сопоставление теории с экспериментом было проведено в работе [5].

Основные особенности этих результатов заключались: а) в типичной для всех ВТСП соединений линейной температурной зависимости сопротивления на нулевой частоте и б) в обнаруженной впервые в [4] немонотонной зависимости сопротивления от частоты и температуры — максимум сопротивления при некоторой частоте и изменение знака температурной производной сопротивления (переход от линейной температурной зависимости к так называемому «полупроводниковому ходу»). Согласно модели [1], эти особенности связаны с тем, что рассеяние подвижных электронов в широкой зоне на примесях благодаря обмену синглетными парами с узкой зоной носит резонансный характер, так что при определенной энергии частота столкновений с примесями обращается в нуль, и возникает аномально большой вклад этих электронов в проводимость. Реально этот вклад ограничивается шириной резонанса, которая не может быть вычислена в рамках модели [1], так как в ней не учтены сильные антиферромагнитные корреляции локализованных электронов и, возможно, другие взаимодействия. Ширина резонанса вводится в теорию феноменологически, и параметры теории определяются из сопоставления с экспериментом.

Несмотря на этот недостаток, можно все же ожидать, что в той степени, в какой речь идет об орбитальных эффектах, не разрушающих синглетную симметрию, модель, по крайней мере качественно, должна согласовываться с экспериментом. С этой точки зрения представляет интерес эффект Холла и электросопротивление при наличии постоянного магнитного поля H , когда роль орбитальной частоты играет ларморовская частота обращения подвижных электронов по замкнутым орбитам $\omega_H = eH/mc$ в плоскости, перпендикулярной магнитному полю. Настоящая статья посвящена вычислению тензора электропроводности для этого случая и сопоставлению результатов теории с экспериментом. Ввиду частых ссылок на формулы и обозначения из работы [1] в дальнейшем они будут нумероваться как [1,...], где под многоточием подразумевается номер формулы в [1].

Тензор электропроводности вычисляется, как и в [1], в технике температурных функций Грина и аналитического продолжения в область ре-

альных частот для линейного отклика системы [6,7]. Исходным является выражение для тензора электропроводности $\sigma_{\alpha\beta}$ ($j_\alpha = \sigma_{\alpha\beta} E_\beta$), аналогичное [1,(60)–(62)], через температурный коррелятор токов в координатном, точнее, зонно-узельном представлении, сопряженном зонно-квазипульсному представлению:

$$\begin{aligned} \sigma_{\alpha\beta}(\mathbf{R}, \mathbf{R}'; \omega) &= \\ &= -\frac{2}{i\omega} \left(\frac{e}{v_0} \right)^2 T \sum_{\omega_n} \text{Sp} (\hat{v}_\alpha(\mathbf{R}) G(\omega_+) \hat{v}_\beta(\mathbf{R}') G(\omega_-)) \Big|_{iv_{n0} \rightarrow \omega+i0}, \quad (1) \\ \omega_n &= \pi T(2n+1), \quad \omega_+ = \omega_n, \quad \omega_- = \omega_n - v_{n0}, \\ v_{n0} &= 2\pi T n_0 \quad (k_B = 1, \quad \hbar = 1), \end{aligned}$$

где \mathbf{R} — координаты узлов решетки, v_0 — объем элементарной ячейки кристалла, $\hat{v}_\alpha(\mathbf{R})$ — оператор скорости.

В отличие от [1,(60)–(62)] в формуле (1) учтен ряд упрощающих обстоятельств. Коэффициент 2 учитывает состояния с изотопическим спином $\sigma_z = -1$ в пространстве «электрон—дырка» (в нормальном состоянии — удвоение за счет спина). Опущен так называемый «диамагнитный» вклад в ток, который автоматически исчезает при том порядке вычисления шпура и суммирования по дискретным частотам ω_n , который принят в [1]. Более существенное замечание касается усреднения по примесям тензорного произведения функций Грина $(G \times G)_{\text{average}}$, которое сводится к суммированию «лестничных» диаграмм теории возмущений (см. [1]). В случае нормального скин-эффекта это среднее распадается на произведение средних

$(G \times G)_{\text{average}} = G_{\text{average}} \times G_{\text{average}}$. Можно показать, что этот результат сохраняется при наличии постоянного магнитного поля в квазиклассическом приближении и в выражении (1) подразумеваются усредненные функции Грина. При этом, так как в узкой зоне скорости электронов равны нулю, G фактически означает диагональный элемент матрицы $G_{jj'}$ по зонному индексу, описывающий подвижные электроны в широкой зоне.

Эти функции вычислялись в работе [1] (формулы (20)^{*}, (24)–(26), (64)). В отличие от этих формул в данном случае необходимо учитывать, что спектральное разложение функций Грина осуществляется не по квазипульсу и плоским волн-

* В формулах [1,(20)] допущена ошибка: в выражении для g_0^{-1} утеряно слагаемое $-i\omega_n \begin{pmatrix} 1 & 0 \\ 0 & 1 \end{pmatrix}$.

нам, описывающим свободное движение электронов, а по квантовым числам спектра Ландау и по соответствующим квазиклассическим волновым функциям для электронов в магнитном поле. Нетрудно, однако, видеть, что при выполнении существенных для дальнейшего неравенств

$$\omega_H \ll T_c \ll \frac{1}{\tau} \ll \epsilon_F \quad (2)$$

(τ — время свободного пробега электронов, $\epsilon_F = p_F^2/2m = mv_F^2/2$ — энергия Ферми, порядка ширины зоны подвижных электронов) схема [1] усреднения функций Грина по примесям и общая структура выражений для усредненных функций Грина остается прежней. При этом термодинамические параметры модели (критическая температура T_c [1,(57)], параметр гибридизации d [1,(30)] ветвей спектра, энергия локального уровня ξ_0 [1,(37)]) сохраняют свое значение и, что особенно важно практически, сохраняются аналитические формулы для массовых операторов $M(\omega_n)$, $L(\omega_n)$ как функций дискретной частоты ω_n . Отмеченное обстоятельство является почти очевидным. Ввиду локальности потенциала рассеяния на примесях и неравенств $l = v_F \tau \ll r_H = v_F/\omega_H$ (l — длина свободного пробега, r_H — ларморовский радиус орбиты электрона в магнитном поле) в квазиклассическом приближении электроны в промежутках между столкновениями с примесями движутся почти как свободные.

Таким образом, в настоящей статье задача формально заключается в том, чтобы учесть влияние спектра Ландау на кинетическую характеристику — тензор электропроводности. Согласно конструкции Ванье [8], в слаженном на атомных расстояниях магнитном поле $\mathbf{H} = \text{rot } \mathbf{A}$ оператор кинетической энергии подвижных электронов представляется в виде

$$H_0(\mathbf{R}, \mathbf{R}') = \frac{1}{N_0} \sum_{\mathbf{p}} \xi \left(\mathbf{p} - \frac{e}{c} \mathbf{A} \left(\frac{\mathbf{R} + \mathbf{R}'}{2} \right) \right) \exp[i\mathbf{p}(\mathbf{R} - \mathbf{R}')] \quad (3)$$

где N_0 — число узлов решетки, $\xi(\mathbf{p})$ — кинетическая энергия свободных электронов, отсчитанная от химпотенциала $\mu \approx \epsilon_F$, периодическая функция квазимпульса \mathbf{p} . Суммирование по квазимпульсу в (3) и всюду в дальнейшем выполняется по неэквивалентным состояниям, т.е. в пределах ячейки обратной решетки. Соответствующие операторы скоростей $\hat{v}_\alpha(\mathbf{R})$ выглядят так:

$$\begin{aligned} \hat{v}_\alpha(\mathbf{R})(\mathbf{R}_1, \mathbf{R}_2) &= \delta_{\mathbf{R}, (\mathbf{R}_1 + \mathbf{R}_2)/2} \times \\ &\times \frac{1}{N_0} \sum_{\mathbf{p}} \frac{\partial}{\partial p_\alpha} \xi \left(\mathbf{p} - \frac{e}{c} \mathbf{A}(\mathbf{R}) \right) \exp[i\mathbf{p}(\mathbf{R}_1 - \mathbf{R}_2)]. \end{aligned} \quad (4)$$

Имея в виду качественный характер модели, чтобы оттенить влияние магнитного поля на тензор электропроводности, пренебрежем орторомбической анизотропией кристаллов Y–Ba–Cu–O с осями a , b , c (соответственно x , y , z) и, более того, для упрощения последующих расчетов примем, что в пределах симметричной ($\xi(\mathbf{p}) = \xi(-\mathbf{p})$) ячейки обратной решетки $\xi(\mathbf{p}) = \mathbf{p}^2/2m - \epsilon_F$. Тогда для магнитного поля, направленного вдоль оси c (или z), в калибровке Ландау $\mathbf{H} = (0, 0, H)$, $\mathbf{A} = (0, Hx, 0)$ волновые функции, как нетрудно проверить, выглядят следующим образом:

$$\Psi_{n, p_y, p_z}(\mathbf{R}) = \Psi_{n, p_y}(x) \frac{\exp[i(p_y y + p_z z)]}{\sqrt{N_y N_z}} \quad (5)$$

(N_y , N_z — число узлов решетки вдоль осей y , z) со спектром Ландау

$$\xi(n, p_z) = n\omega_H + \frac{p_z^2}{2m} - \epsilon_F, \quad (6)$$

$n > 0$ — целое число. Нормированные квазиклассические волновые функции $\Psi_{n, p_y}(x)$ отличны от нуля в интервале между точками поворота на орбите и имеют вид

$$\begin{aligned} \Psi_{n, p_y}(x) &= \left(\frac{2a\omega_H}{\pi |v_x(x)|} \right)^{1/2} \times \\ &\times \sin \int^x p_x(x') dx' \theta \left(r_H^2(n) - \left(\frac{cp_y}{eH} - x \right)^2 \right), \end{aligned} \quad (7)$$

a — период решетки по оси x ; cp_y/eH играет роль x -координаты центра круговой орбиты в плоскости (x, y) ; $r_H(n)$ — радиус орбиты:

$$\begin{aligned} p_x(x) &= mv_x(x) = \frac{eH}{c} \left[r_H^2(n) - \left(\frac{cp_y}{eH} - x \right)^2 \right]^{1/2} > 0, \\ r_H(n) &= \frac{c}{eH} \sqrt{2mn\omega_H}. \end{aligned} \quad (8)$$

В формуле (7) явно выделен носитель волновой функции $\Psi_{n, p_y}(x)$, который с квазиклассической

точностью, ввиду экспоненциально быстрого убывания волновой функции за точками поворота, сводится к сингулярной θ -функции.

Волновые функции (5), (7) удовлетворяют соотношениям полноты и ортогональности. Поэтому спектральное разложение полных функций Грина в выражении (1) с учетом межзонного взаимодействия в приближении самосогласованного поля [1] и рассеяния на примесях, ввиду сделанных выше замечаний, записывается следующим образом:

$$G(\mathbf{R}_1, \mathbf{R}_2; \omega_{\pm}) = \sum_{\lambda} \psi_{\lambda}(\mathbf{R}_1) G_{\lambda}(\omega_{\pm}) \psi_{\lambda}^*(\mathbf{R}_2), \quad (9)$$

$$\lambda = (n, p_y, p_z),$$

$$G_{\lambda}(\omega_{\pm}) = \left(n\omega_H + \frac{p_z^2}{2m} - \epsilon_F - i\omega_{\pm} - L(\omega_{\pm}) \right)^{-1}, \quad (10)$$

где функция $L(\omega_n)$ определяется формулами [1, (24), (25) и (64)].

По определению, шпур в выражении (1) представляется суммой

$$(Sp)_{\alpha\beta}(\mathbf{R}, \mathbf{R}') = \frac{1}{N_0^2} \circ \sum \circ \left\{ v_{\alpha} \left(\mathbf{p}_1 - \frac{e}{c} \mathbf{A}(\mathbf{R}) \right) \delta_{\mathbf{R}, (\mathbf{R}_1 + \mathbf{R}_2)/2} \exp [i\mathbf{p}_1(\mathbf{R}_1 - \mathbf{R}_2)] \psi_{\lambda}(\mathbf{R}_2) G_{\lambda}(\omega_{+}) \psi_{\lambda}^*(\mathbf{R}_3) \times \right. \\ \left. \times v_{\beta} \left(\mathbf{p}_2 - \frac{e}{c} \mathbf{A}(\mathbf{R}') \right) \delta_{\mathbf{R}', (\mathbf{R}_3 + \mathbf{R}_4)/2} \exp [i\mathbf{p}_2(\mathbf{R}_3 - \mathbf{R}_4)] \psi_{\lambda'}(\mathbf{R}_4) G_{\lambda'}(\omega_{-}) \psi_{\lambda'}^*(\mathbf{R}_1) \right\}, \quad v_{\alpha}(\mathbf{p}) = \frac{\partial \xi(\mathbf{p})}{\partial p_{\alpha}}. \quad (11)$$

Символом $\circ \sum \circ$ обозначено суммирование по всем переменным в выражении (11), кроме \mathbf{R} , \mathbf{R}' и ω_{\pm} . Отметим, что ввиду трансляционной симметрии это выражение фактически зависит от разности $\mathbf{R} - \mathbf{R}'$, и вычислять его фурье-образ надлежит согласно представлению

$$\int \frac{d^3 q}{(2\pi)^3} \exp [i\mathbf{q}(\mathbf{R} - \mathbf{R}')] (\dots).$$

В дальнейшем благодаря нормальному скин-эффекту $\mathbf{q} \rightarrow 0$.

Вычисление шпура по y - и z -переменным не составляет труда, так как, согласно формулам (5), (9), речь идет о вычислении сумм от произведения нормированных плоских волн. Значение этих сумм определяется соотношениями полноты и ортогональности:

$$\frac{1}{N_y} \sum_{p_y} \exp [ip_y(y_1 - y_2)] = \delta_{y_1, y_2},$$

$$\frac{1}{N_y} \sum_y \exp [iy(p_{1y} - p_{2y})] = \delta_{p_{1y}, p_{2y}}$$

и аналогично по переменной z . При этом из-за наличия δ -символов $\delta_{\mathbf{R}, (\mathbf{R}_1 + \mathbf{R}_2)/2}$, $\delta_{\mathbf{R}', (\mathbf{R}_3 + \mathbf{R}_4)/2}$ в выражении (11) удобно сделать замену переменных

$$\frac{y_1 + y_2}{2} = Y'_1, \quad y_1 - y_2 = Y_1, \quad \frac{y_3 + y_4}{2} = Y'_3, \quad$$

$$y_3 - y_4 = Y_3, \quad \frac{z_1 + z_2}{2} = Z'_1, \quad z_1 - z_2 = Z_1,$$

$$\frac{z_3 + z_4}{2} = Z'_3, \quad z_3 - z_4 = Z_3$$

с якобианом перехода, равным по модулю единице. Вычисление искомых сумм по переменным y и z приводит к выражению

$$\delta_{p_{1y}, (p_y + p'_y)/2} \delta_{p_{2y}, (p_y + p'_y)/2} \delta_{p_{1z}, (p_z + p'_z)/2} \delta_{p_{2z}, (p_z + p'_z)/2}.$$

Выполняя затем замену переменных

$$\frac{p_y + p'_y}{2} = \mathcal{P}_y; \quad p_y - p'_y = q_y; \quad \frac{p_z + p'_z}{2} = \mathcal{P}_z;$$

$$p_z - p'_z = q_z; \quad p_y = \mathcal{P}_y + \frac{1}{2} q_y; \quad p'_y = \mathcal{P}_y - \frac{1}{2} q_y;$$

$$p_z = \mathcal{P}_z + \frac{1}{2} q_z; \quad p'_z = \mathcal{P}_z - \frac{1}{2} q_z$$

и переходя в оставшихся суммах $\sum_{\mathcal{P}_y} \sum_{q_y} \sum_{\mathcal{P}_z} \sum_{q_z}$ к интегрированию

$$\sum_{\mathcal{P}_y} \sum_{q_y} \rightarrow \left(\frac{N_y a_y}{2\pi} \right)^2 \int \int d\mathcal{P}_y dq_y ,$$

$$\sum_{\mathcal{P}_z} \sum_{q_z} \rightarrow \left(\frac{N_z a_z}{2\pi} \right)^2 \int \int d\mathcal{P}_z dq_z$$

(a_y , a_z – периоды решетки вдоль осей y , z),
«снимем» интегрирование

$$\int \int \frac{dq_y dq_z}{(2\pi)^2} \exp [iq_y(y - y') + iq_z(z - z')] \dots .$$

В пределе $(q_y, q_z) \rightarrow 0$ получим из (11) следующий результат ($\mathcal{P}_y, \mathcal{P}_z \rightarrow p_y, p_z$):

$$(\text{Sp})_{\alpha\beta}(x, x') = \left(\frac{a_y a_z}{N_x} \right)^2 \int \int \frac{dp_y dp_z}{(2\pi)^2} \circ \sum \circ \left\{ v_\alpha \left(p_{1x}, p_y - \frac{eHx}{c}, p_z \right) \delta_{x, (x_1+x_2)/2} \times \right.$$

$$\times \exp [ip_{1x}(x_1 - x_2)] \Psi_{n, p_y}(x_2) G_{n, p_z}(\omega_+) \Psi_{n, p_y}(x_3) v_\beta \left(p_{2x}, p_y - \frac{eHx'}{c}, p_z \right) \delta_{x', (x_3+x_4)/2} \times$$

$$\left. \times \exp [ip_{2x}(x_3 - x_4)] \Psi_{n', p_y}(x_4) G_{n', p_z}(\omega_-) \Psi_{n', p_y}(x_1) \right\} . \quad (12)$$

Вычисление шпера по x -переменным носит более сложный характер. Предварительно избавимся от δ -символов $\delta_{x, (x_1+x_2)/2}$, $\delta_{x', (x_3+x_4)/2}$ в (12), выполняя замену переменных:

$$\frac{x_1 + x_2}{2} = X_1, \quad x_1 - x_2 = X'_1; \quad \frac{x_3 + x_4}{2} = X_3, \quad x_3 - x_4 = X'_3.$$

В результате (12) после сдвига $p_y \rightarrow p_y + eHx'/c$ приобретет вид (см. (7), (8) для $\Psi_{n, p_y}(x)$): $X = x - x'$

$$(\text{Sp})_{\alpha\beta}(X) = \left(\frac{a_y a_z}{N_x} \right)^2 \left(\frac{2a\omega_H}{\pi} \right)^2 \sum_{n,k} \int \int \frac{dp_y dp_z}{(2\pi)^2} \circ \sum \circ \left\{ \exp [ip_{4x}X'_1 + ip_{2x}X'_3] \times \right.$$

$$\times \frac{\sin \alpha \sin \beta \sin \gamma \sin \delta}{\sqrt{|v_x^\alpha v_x^\beta v_x^\gamma v_x^\delta|}} \theta_\alpha \theta_\beta \theta_\gamma \theta_\delta v_\alpha \left(p_{1x}, p_y - \frac{eHX}{c}, p_z \right) v_\beta \left(p_{2x}, p_y, p_z \right) G_{n, p_z}(\omega_+) G_{n-k, p_z}(\omega_-) \left. \right\} , \quad (13)$$

где для краткости введены обозначения интегралов:

$$\begin{aligned} X - \frac{cp_y}{eH} - \frac{1}{2} X'_2 & \quad - \frac{cp_y}{eH} + \frac{1}{2} X'_3 \\ \alpha = \frac{eH}{c} \int_{-r_H(n)}^{dx''} \sqrt{r_H^2(n) - x''^2}, \quad \beta = \frac{eH}{c} \int_{-r_H(n)}^{dx''} \sqrt{r_H^2(n) - x''^2}, \\ -\frac{cp_y}{eH} - \frac{1}{2} X'_3 & \quad X - \frac{cp_y}{eH} + \frac{1}{2} X'_1 \\ \gamma = \frac{eH}{c} \int_{-r_H(n-k)}^{dx''} \sqrt{r_H^2(n-k) - x''^2}, \quad \delta = \frac{eH}{c} \int_{-r_H(n-k)}^{dx''} \sqrt{r_H^2(n-k) - x''^2}. \end{aligned} \quad (14)$$

Остальные обозначения понятны из формулы (7).

В полученном выражении (13) необходимо в явном виде учесть квазиклассичность движения электронов, т.е. быстрые осцилляции $\Psi_{n, p_y}(x)$ на длине $\lambda_F \sim 1/p_F \ll l \ll r_H$, а также большие значения квантового числа $n \sim \epsilon_F/\omega_H$. Это

достигается разложением интегралов (14) – аргументов синусов в выражении (7) – по переменным X'_1 , X'_3 и $k = n - n'$ и выбором соответствующих комбинаций экспонент $e^{\pm i\alpha} e^{\pm i\beta} e^{\pm i\gamma} e^{\pm i\delta} \exp [i(p_{1x}X'_1 + p_{2x}X'_3)]$ в произведении волновых функций $\Psi_{n, p_y}(x)$, таких, в которых

быстрые осцилляции «погашаются» и которые в главном приближении по малым параметрам дают ненулевой вклад в выражение (13). Из формул (14) видно, что для этого необходимо взять комбинации $\alpha - \delta$ и $\beta - \gamma$, которые могут затем сочетаться с произвольными знаками.

Раскладывая интегралы (14) до линейных по X'_1 , X'_3 и k членов, получаем

$$\alpha - \delta = -\mathcal{P}_1 X'_1 + k I_1, \quad \beta - \delta = \mathcal{P}_2 X'_3 + k I_2, \quad (15)$$

$$\mathcal{P}_1 = \frac{eH}{c} \left[r_H^2(n) - \left(X - \frac{cp_y}{eH} \right)^2 \right]^{1/2},$$

$$\mathcal{P}_2 = \frac{eH}{c} \left[r_H^2(n) - \left(\frac{cp_y}{eH} \right)^2 \right]^{1/2}, \quad (16)$$

$$I_1 = \int_{-r_H(n)}^{X - \frac{cp_y}{eH}} \frac{dx''}{\sqrt{r_H^2(n) - x''^2}}, \quad I_2 = \int_{-r_H(n)}^{-\frac{cp_y}{eH}} \frac{dx''}{\sqrt{r_H^2(n) - x''^2}}. \quad (17)$$

Суммирование экспонент в выражении (13) по переменным X'_1 , X'_3 даст, как нетрудно видеть из формул (15)–(17), группу слагаемых:

$$\begin{aligned} & \frac{N_x^2}{16} \left\{ \delta_{p_{1x}, \mathcal{P}_1} \delta_{p_{2x}, -\mathcal{P}_2} \exp [ik(I_1 + I_2)] + \delta_{p_{1x}, \mathcal{P}_1} \delta_{p_{2x}, \mathcal{P}_2} \exp [ik(I_1 - I_2)] + \right. \\ & \left. + \delta_{p_{1x}, -\mathcal{P}_1} \delta_{p_{2x}, -\mathcal{P}_2} \exp [-ik(I_1 - I_2)] + \delta_{p_{1x}, -\mathcal{P}_1} \delta_{p_{2x}, \mathcal{P}_2} \exp [-ik(I_1 + I_2)] \right\}. \end{aligned} \quad (18)$$

Подставим эту группу слагаемых (18) в выражение (13) и выполним суммирование по p_{1x} , p_{2x} . Полученное выражение $(Sp)_{\alpha\beta}(X)$ необходимо подвергнуть преобразованию Фурье $\int dX e^{-iq_x X} (\dots)$ по разности $x - x' = X$, устремляя затем $q_x \rightarrow 0$. Далее, поскольку характерные частоты $\omega_H \ll \varepsilon_F$, суммирование по квантовому числу n можно заменить интегрированием по переменной ξ (6): $\omega_H \sum_n \rightarrow \int_{-\infty}^{\infty} d\xi$. При этом, так как интеграл по ξ сосредоточен в малой окрестности вблизи границы Ферми, значения p_z ограничены интервалом $-p_F < p_z < p_F$, и с той же точностью радиус орбиты (8) записывается в виде

$$r_H^2(p_z) = \left(\frac{c}{eH} \right)^2 (p_F^2 - p_z^2). \quad (19)$$

Чтобы избавиться в формуле (13) от носителей $\theta(r_H^2(p_z) - (X - cp_y/eH)^2)$ $\theta(r_H^2(p_z) - (cp_y/eH)^2)$ и выполнить интегрирование по переменным X , p_y и p_z , сделаем замену переменных, согласующуюся с классической динамикой электрона в магнитном поле:

$$\begin{aligned} X - \frac{cp_y}{eH} &= r_H(p_z) \cos \varphi, \quad \frac{cp_y}{eH} = r_H(p_z) \cos \Phi_0; \\ \frac{\partial(X, p_y)}{\partial(\varphi, \Phi_0)} &= \begin{vmatrix} -r_H \sin \varphi, & -r_H \sin \Phi_0 \\ 0, & -\frac{eH}{c} r_H \sin \Phi_0 \end{vmatrix} = \\ &= \frac{eH}{c} r_H^2 \sin \varphi \sin \Phi_0, \end{aligned} \quad (20)$$

где φ и Φ_0 – фазы, задающие положение электрона на орбите. Ввиду положительности величин \mathcal{P}_1 , \mathcal{P}_2 , I_1 , I_2 (16), (17) интегрирование по фазам осуществляется по полупериоду $(-\pi, 0)$:
 $\int \int d\varphi d\Phi_0$ от «левой» точки поворота до «правой». Значения этих величин, согласно формулам (16), (17) и (20), равны

$$\begin{aligned} \mathcal{P}_1 &= -\frac{eH}{c} r_H(p_z) \sin \varphi, \quad \mathcal{P}_2 = -\frac{eH}{c} r_H(p_z) \sin \Phi_0, \\ I_1(\varphi) &= \pi + \varphi, \quad I_2(\varphi) = -\Phi_0. \end{aligned} \quad (21)$$

Дальнейшее интегрирование по p_z и вычисление тригонометрических интегралов по фазам φ и Φ_0 в выражении (13) выполняется элементарно. Удобно нормировать тензор $\sigma_{\alpha\beta}$ на проводимость

Друде–Лоренца $\sigma_0 = ne^2\tau/m$, $n = p_F^3/3\pi^2$ – плотность проводящих электронов. Учитывая формулы (19)–(21), получим для ненулевых компонент искомого тензора $\sigma_{\alpha\beta} = \sigma_{\alpha\beta}(\mathbf{q}, \omega)|_{\mathbf{q} \rightarrow 0}$ следующие выражения:

$$\begin{aligned} \frac{\sigma_{xx}}{\sigma_0} &= \frac{\sigma_{yy}}{\sigma_0} = -\frac{1}{i\omega\tau} \times \\ &\times T \sum_{\omega_n} \sum_k \frac{1}{2} (\delta_{k,1} + \delta_{k,-1}) \int d\xi G_\xi(\omega_+) G_{\xi-k\omega_H}(\omega_-) \Big|_{iv_{n0} \rightarrow \omega+i0} , \quad (22) \\ \frac{\sigma_{xy}}{\sigma_0} &= -\frac{\sigma_{yx}}{\sigma_0} = \frac{1}{i\omega\tau} \times \\ &\times T \sum_{\omega_n} \sum_k \frac{1}{2i} (\delta_{k,1} - \delta_{k,-1}) \int d\xi G_\xi(\omega_+) G_{\xi-k\omega_H}(\omega_-) \Big|_{iv_{n0} \rightarrow \omega+i0} , \\ \sigma_{zz} &= (\sigma_{xx} = \sigma_{yy}) \Big|_{\omega_H = 0} . \quad (23) \end{aligned}$$

Компоненты σ_{xz} , σ_{yz} , σ_{zy} и σ_{zx} исчезают из-за нечетности подынтегральных выражений по p_z . Благодаря правилам отбора в суммах по целым числам k , фиксирующим переходы с орбиты на орбиту за счет столкновения с примесями, формулы (22), (23) удовлетворяют онсагеровским соотношениям симметрии по отношению к изменению знака магнитного поля. Компонента σ_{zz} равна проводимости в нулевом магнитном поле и в дальнейшем не представляет интереса.

Для выполнения требуемого в (22), (23) аналитического продолжения в верхнюю полуплоскость по реальной частоте ω : $iv_{n0} \rightarrow \omega + i0$ воспользуемся техническим приемом, указанным в [7], – представим функцию Грина $G(\omega_n)$ интегралом типа Коши:

$$\begin{aligned} G_\xi(\omega_n) &= \int_{-\infty}^{\infty} \frac{d\epsilon}{2\pi i} \frac{\chi(\epsilon)}{\epsilon - i\omega_n} , \\ \chi_\xi(\epsilon) &= G_\xi(\omega_n) \Big|_{i\omega_n \rightarrow \epsilon+i0} - G_\xi(\omega_n) \Big|_{i\omega_n \rightarrow \epsilon-i0} = \\ &= (\xi - \epsilon - L_+(\epsilon))^{-1} - (\xi - \epsilon - L_-(\epsilon))^{-1} . \end{aligned}$$

Значение суммы по дискретным частотам ω_n определяется известными разложениями гиперболического тангенса на простейшие дроби и равно

$$T \sum_{\omega_n} \frac{1}{(\epsilon_+ - i\omega_n)(\epsilon_- - i\omega_n + iv_{n0})} =$$

$$= -\frac{\frac{1}{2} [\operatorname{th}(\epsilon_+/2T) - \operatorname{th}(\epsilon_-/2T)]}{\epsilon_+ - \epsilon_- - iv_{n0}} ;$$

$$\epsilon_\pm = \epsilon \pm \frac{\epsilon'}{2} .$$

Таким образом, согласно формулам (22), (23), необходимо вычислить интеграл

$$\begin{aligned} \frac{1}{i\omega\tau} \int \int \frac{d\epsilon d\epsilon'}{(2\pi i)^2} \frac{\frac{1}{2} [\operatorname{th}(\epsilon_+/2T) - \operatorname{th}(\epsilon_-/2T)]}{\epsilon' - \omega - i0} \times \\ \times \int d\xi \chi_\xi(\epsilon_+) \chi_{\xi-k\omega_H}(\epsilon_-) , \quad (24) \end{aligned}$$

через который выражаются главные компоненты тензора электропроводности σ_{xx} (22) и σ_{xy} (23). В формуле (24) после интегрирования спектральных плотностей по переменной ξ

$$\begin{aligned} \int d\xi \chi_\xi(\epsilon_+) \chi_{\xi-k\omega_H}(\epsilon_-) = \\ = -2\pi i \left[(\epsilon' - k\omega_H + L_+(\epsilon_+) - L_-(\epsilon_-))^{-1} + \right. \\ \left. + (-\epsilon' + k\omega_H + L_+(\epsilon_+) - L_-(\epsilon_-))^{-1} \right] \quad (25) \end{aligned}$$

возникает быстросходящийся интеграл по переменной ϵ' . Поэтому, имея в виду предел $\omega \rightarrow 0$, можно разложить разность гиперболических тангенсов по ϵ' и, выполнив интегрирование по ϵ' , положить $\omega = 0$:

$$-\frac{1}{i\pi} \int_{-\infty}^{\infty} \frac{d\epsilon}{4T \operatorname{ch}^2(\epsilon/2T)} \frac{1}{-k\omega_H + L_+(\epsilon) - L_-(\epsilon)} . \quad (26)$$

Разность $L_+(\epsilon) - L_-(\epsilon)$ имеет вид [1,(67)]

$$L_+(\epsilon) - L_-(\epsilon) = \frac{1}{\tau} \left(1 + \frac{\delta}{\xi_0 - \epsilon} \right)^2 , \quad (27)$$

где параметры модели определены в [1,(37), (57), (30), (67)]:

$$\begin{aligned} \xi_0 &= T \ln \frac{1-k}{1+k} ; \quad T_c \sim \lambda^2 \epsilon_F \frac{k}{\ln \frac{1+k}{1-k}} ; \\ d &\sim \lambda c u_{12} ; \quad \delta = \frac{|d|^2 u_{22}}{u_{11} u_{22} - |u_{12}|^2} ; \quad (28) \end{aligned}$$

k — степень заполнения узкой зоны ($-1 < k < 1$),
 c — концентрация примесей, $u_{jj'}$ — матричные элементы потенциала рассеяния на примесях ($u < \epsilon_F$), λ — малая константа межзонной связи.
Эти величины удовлетворяют неравенствам

$$\lambda \ll 1, \delta \ll d, \delta \ll \xi_0 \sim T_c, \quad (29)$$

которые необходимо учитывать наряду с неравенствами (2).

Выделим в подынтегральном выражении (26) асимптотику при больших энергиях и резонансное слагаемое

$$\begin{aligned} \frac{1}{-k\omega_H + L_+(\epsilon) - L_-(\epsilon)} &= \frac{1}{-k\omega_H + i/\tau} + \\ &+ \left(\frac{1}{-k\omega_H + L_+(\epsilon) - L_-(\epsilon)} - \frac{1}{-k\omega_H + i/\tau} \right). \end{aligned} \quad (30)$$

Как нетрудно видеть из формулы (27), резонансное слагаемое быстро сходится по энергиям и в нулевом магнитном поле $\omega_H = 0$ дает бесконечный вклад в тензор электропроводности при энергии $\epsilon = \xi_0 + \delta$. Введем феноменологически лоренцеву ширину резонанса согласно правилу

$$\frac{1}{(\epsilon - \xi_0 - \delta)^2} \rightarrow \frac{1}{(\epsilon - \xi_0 - \delta)^2 + v_0^2}, v_0 \ll \delta.$$

Интегрируя в (26) по энергии и собирая вместе формулы (22)–(30), получаем окончательные выражения для компонент тензора электропроводности:

$$\frac{\sigma_{xx}}{\sigma_0} = \frac{\sigma_{yy}}{\sigma_0} = 1 + \frac{\pi(1-k^2)}{4T} \operatorname{Re} \frac{\delta^2}{\sqrt{v_0^2 - i\omega_H \tau \delta^2}}, \quad (31)$$

$$\frac{\sigma_{xy}}{\sigma_0} = -\frac{\sigma_{yx}}{\sigma_0} = \tau\omega_H + \frac{\pi(1-k^2)}{4T} \operatorname{Im} \frac{\delta^2}{\sqrt{v_0^2 - i\tau\omega_H \delta^2}}, \quad \sqrt{1} = 1. \quad (32)$$

Тензор удельного сопротивления: $\rho_{\alpha\beta} = (\sigma^{-1})_{\alpha\beta}$.

Пусть ток направлен по оси x : $j_x \equiv j$, $j_y = 0$, $E_x \equiv E$. Определяя удельное сопротивление и коэффициент Холла

$$\rho = \frac{E}{j} = \frac{\sigma_{xx}}{\sigma_{xx}^2 + \sigma_{xy}^2}; \quad R_H = \frac{E_y}{jH} = \frac{\sigma_{xy}}{[\sigma_{xx}^2 + \sigma_{xy}^2]H},$$

найдём для этих величин

$$\begin{aligned} \frac{\rho}{\rho_0} &= \left(1 + \frac{\epsilon}{t} \operatorname{Re} \frac{1}{\sqrt{1-i\Omega}} \right) \times \\ &\times \left[\left(1 + \frac{\epsilon}{t} \operatorname{Re} \frac{1}{\sqrt{1-i\Omega}} \right)^2 + \left(\tau\omega_H + \frac{\epsilon}{t} \operatorname{Im} \frac{1}{\sqrt{1-i\Omega}} \right)^2 \right]^{-1}, \\ \rho &= 1/\sigma_0, \end{aligned} \quad (33)$$

$$\begin{aligned} \tau\omega_H \frac{R_H}{R_{H0}} &= \left(\tau\omega_H + \frac{\epsilon}{t} \operatorname{Im} \frac{1}{\sqrt{1-i\Omega}} \right) \times \\ &\times \left[\left(1 + \frac{\epsilon}{t} \operatorname{Re} \frac{1}{\sqrt{1-i\Omega}} \right)^2 + \left(\tau\omega_H + \frac{\epsilon}{t} \operatorname{Im} \frac{1}{\sqrt{1-i\Omega}} \right)^2 \right]^{-1}, \end{aligned} \quad (34)$$

где $R_{H0} = 1/nec$ — классическая величина коэффициента Холла и введены безразмерные переменные

$$t = \frac{T}{T_c}, \quad \epsilon = \frac{\pi(1-k^2)\delta^2}{4T_c v_0} \gg 1, \quad \Omega = \tau\omega_H \left(\frac{\delta}{v_0} \right)^2. \quad (35)$$

Отметим полезную формулу для тангенса угла Холла, которая позволяет оценивать по экспериментальным данным параметр $\tau\omega_H$:

$$\frac{E_y}{E} = \frac{\tau\omega_H + \frac{\epsilon}{t} \operatorname{Im} \frac{1}{\sqrt{1-i\Omega}}}{1 + \frac{\epsilon}{t} \operatorname{Re} \frac{1}{\sqrt{1-i\Omega}}}.$$

Описываемые формулами (33), (34) зависимости сопротивления и коэффициента Холла от температуры и магнитного поля можно сопоставить с имеющимися экспериментальными данными (см. [9] и цитированную там литературу). При этом следует исключить из рассмотрения аномалии, наблюдающиеся в узкой флюктуационной окрестности критической температуры T_c сверхпроводящего перехода, которые не описываются приближением самосогласованного поля [1]. Разумные значения температуры лежат в интервале $1 < t < 3$. В этих экспериментах, к сожалению, отсутствует детальная информация о зависимости величин (33), (34) от магнитного поля. Измерялась их температурная зависимость при двух–трех значениях магнитного поля, включая нулевое поле.

Несложный анализ показывает, что сопротивление (33) в согласии с опытом монотонно ($(\partial(\rho/\rho_0)/\partial t > 0)$) возрастает с температурой практически линейно при не слишком больших температурах. Более интересно поведение коэффициента Холла, или так называемого холловского «сопротивления»: $\rho_{xy}/\rho_0 = \tau\omega_H R_H/R_{H0}$. Дифференцируя выражение (34) по температуре, можно установить, что эта величина достигает максимума в точке

$$t_0 = \varepsilon I \frac{\sqrt{1 + (I/R)^2}}{1 + \sqrt{1 + (I/R)^2}} \left(\frac{I/R}{1 + \sqrt{1 + (I/R)^2}} - \tau\omega_H \right)^{-1},$$

$$(R, I) \equiv (\text{Re}, \text{Im}) \frac{1}{\sqrt{1 - i\Omega}}, \quad (36)$$

$$\Omega \ll 1 : \quad t_0 \approx \varepsilon, \quad \max \left(\frac{\rho_{xy}}{\rho_0} \right) \approx \frac{\Omega}{8};$$

$$\Omega \gg 1 : \quad t_0 \approx \frac{\varepsilon}{\sqrt{\Omega}}, \quad \max \left(\frac{\rho_{xy}}{\rho_0} \right) \approx \frac{1}{2(1 + \sqrt{2})} \quad (37)$$

(см. рис. 1, на котором приведены результаты численных расчетов по формуле (34)). Из условия $t_0 > 1$ и формул (37) вытекает ограничение на величину магнитного поля $\Omega < \varepsilon^2$. Теоретические оценки порядков величин для параметров модели, согласующиеся с неравенствами (2), (29), позволяют отсюда оценить характерные для рассматриваемой теории магнитные поля $H \sim 10^3\text{--}10^4$ Э. Именно при этих значениях магнитного поля выполнялись измерения температурных зависимостей электросопротивления и коэффициента Холла [9].

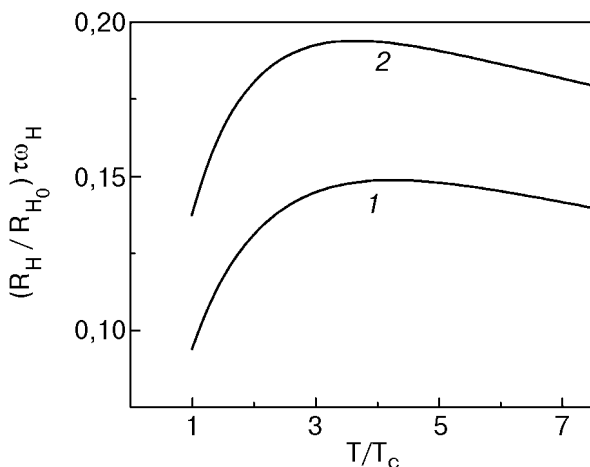


Рис. 1. Зависимость холловского сопротивления от температуры: $\tau\omega_H = 0,05$ (1), $\tau\omega_H = 0,1$ (2). $\delta/v_0 = 6$, $\varepsilon = 5$.

Из выражения (36), (37) и рис. 1 видно, что при малых полях максимум уменьшается по высоте и смещается в область высоких температур за пределы применимости теории, в то время как при больших полях он достигает экспериментально наблюдаемых значений при небольших температурах. Эти зависимости согласуются с экспериментами [10].

Таким образом, модель [1] правильно передает основные черты поведения двух различных электронных орбитальных эффектов в ВТСП металлооксидах в нормальном состоянии — электросопротивления на переменном токе и эффекта Холла.

Авторы благодарны Е. В. Безуглому за плодотворные обсуждения и помочь в оформлении работы.

1. В. П. Галаико, *ФНТ* **19**, 123 (1993).
2. В. П. Галаико, *ФНТ* **13**, 1102 (1987).
3. В. П. Галаико, Е. В. Безуглый, В. С. Шумейко, *ФНТ* **13**, 1301 (1987).
4. В. М. Дмитриев, М. Н. Офицеров, Н. Н. Пренцлау, *ФНТ* **16**, 387 (1990).
5. В. П. Галаико, В. М. Дмитриев, М. Н. Офицеров, Н. Н. Пренцлау, *ФНТ* **19**, 135 (1993).
6. А. А. Абрикосов, Л. П. Горьков, И. Е. Дзялошинский, *Методы квантовой теории поля в статистической физике*, Физматгиз, Москва (1962).
7. Л. Каданов, Г. Бейм, *Квантовая статистическая механика. Методы функций Грина в теории равновесных и неравновесных процессов*, Мир, Москва (1964).
8. G. H. Wannier, *Rev. Mod. Phys.* **34**, 645 (1962).
9. A. L. Solov'ev, *Low Temp. Phys.* **24**, 161 (1998).
10. А. Л. Соловьев, частное сообщение.

Galvanomagnetic effects in the normal state of high- T_c metal oxides in the two band model of superconductors with a narrow band (level) near the Fermi boundary

V. P. Galaiko and E. N. Bratus'

The investigation [1] of electron orbital effects in high- T_c samples (Y-Ba-Cu-O) in the normal state are continued with dc galvanomagnetic effects. The electric conductivity tensor, electric resistance and Hall coefficient are calculated. The results qualitatively agree with experiment.